

Figure 5. Contrainte de cisaillement de la pyrophyllite du cuivre et du plomb en fonction d'un effort de compression.

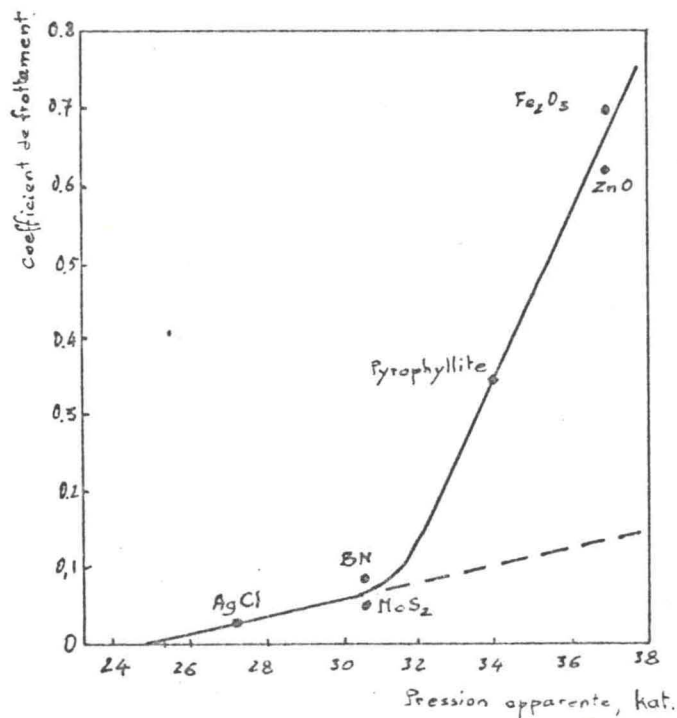


Figure 6. Pression apparente nécessaire pour obtenir la transition $Bi_I \rightarrow Bi_{II}$ en fonction du coefficient de frottement interne.